

$$\lambda_1 = c_0^{(2)} a_{13} - c_0^{(1)} a_{12} - a_{11} \delta; \quad \lambda_2 = \varphi_c - a_{12} c_0^{(1)} - a_{11} \delta.$$

Таким образом, получены выражения для распределения концентрации диффундирующего вещества (11)–(12) и компонентов тензора напряжений в слое и полупространстве (10).

1. Архаров В. И. Сучасні уявлення про явища дифузії речовини в твердому стані. — Фізика твердого тіла, 1972, вип. 2, с. 3–18.
2. Лурье А. И. Теория упругости. — М.: Наука, 1970.—939 с.
3. Подстригач Я. С., Шевчук П. Р. Вариационная форма теории термодиффузионных процессов в деформируемом твердом теле. — Прикл. математика и механика, 1964, 33, № 4, с. 774–776.

Ин-т прикладных проблем механики
и математики АН УССР, Львов

Получено 24.01.84.

УДК 539.3 : 538.54

А. Р. Гачкевич, Б. И. Чорный

НЕСТАЦИОНАРНЫЕ ТЕМПЕРАТУРНЫЕ ПОЛЯ И НАПРЯЖЕНИЯ В ЭЛЕКТРОПРОВОДНОЙ ПЛАСТИНЕ, НАГРЕВАЕМОЙ ЛИНЕЙНЫМ ИНДУКТОРОМ

Рассматривается электропроводная упругая пластина толщины $2h$, в области которой (область D) отсутствуют «сторонние» заряды и токи. Пластина помещена в диэлектрическую среду (области D_0^\pm) и подвергается воздействию установившегося высокочастотного электромагнитного поля, создаваемого единичным линейным проводником с током (индуктором) параллельным поверхности пластины. Ставится задача об определении электромагнитного поля, соответствующего ему джоулева тепла, температурного поля и напряжений при данной схеме индукционного нагрева.

На первом этапе решения такой комплексной задачи, т. е. при определении электромагнитного поля, исходим из уравнений электродинамики, записанных относительно амплитуд напряженностей электрического поля \vec{E}_0^\pm , \vec{E} в областях внешней среды и пластины [3]. Вводя прямоугольную декартовую систему безразмерных (отнесенных к h) координат $\{x_1, x_2, z\}$ таким образом, чтобы ось x_1 совпала с направлением тока в проводнике, а плоскость $z = 0$ — со срединной плоскостью пластины, амплитуду плотности тока в индукторе представим в виде

$$\vec{j}_0^+ = j_0 \delta(x_2) \delta(z - z_0 - 1) \vec{i}_1, \quad (1)$$

где $\delta(x)$ — дельта-функция Дирака; z_0 — расстояние от проводника до нагреваемой поверхности пластины. В этом случае отличными от нуля будут только составляющие E_{01}^\pm, E_1 амплитуд \vec{E}_0^\pm, \vec{E} . Для их определения имеем следующую систему уравнений [3]:

$$\left(\frac{\partial^2}{\partial z^2} + \frac{\partial^2}{\partial x_2^2} + k_0^2 \right) E_{01}^\pm = \begin{cases} i\omega\mu_0 h^2 j_0 \delta(x_2) \delta(z - z_0 - 1) & \text{в } D_0^+, \\ 0 & \text{в } D_0^-, \end{cases} \quad (2)$$

$$\left[\delta \cdot \left(\frac{\partial^2}{\partial z^2} + \frac{\partial^2}{\partial x_2^2} \right) - \frac{i}{2} \right] E_1 = 0 \text{ в } D, \quad (3)$$

граничных условий на поверхностях $z = \pm 1$ пластины

$$E_1 = E_{01}^\pm, \quad \frac{\partial}{\partial z} E_1 = \mu \cdot \frac{\partial}{\partial z} E_{01}^\pm, \quad (4)$$

к которым присоединяются условия на бесконечности (условия излучения [3]).

Здесь D_0^\pm — области внешние по отношению к поверхностям $z = \pm 1$ пластины; $\mu_* = \mu/\mu_0$; $k_0^2 = \varepsilon_0\mu_0\omega^2 h^2$; $\delta_* = \sqrt{2/\delta\mu\omega}/2h$ — параметр относительной глубины проникновения индукционных токов; $\varepsilon_0, \varepsilon, \mu_0, \mu$ — диэлектрическая и магнитная проницаемости внешней среды и пластины; ω — угловая частота; σ — коэффициент электропроводности.

При высокочастотном электромагнитном воздействии задача (2) — (4) в связи с малостью параметра δ_* ($\delta_* \ll 1$) является сингулярно возмущенной. Согласно методике, изложенной в работе [5], решение такой задачи представляется в виде асимптотических разложений в степенные ряды по малому параметру δ_* . При этом коэффициенты разложения для области пластины строятся в окрестности поверхности $z=1$ как функции типа погранслоя и последовательно определяются с помощью рекуррентных соотношений через решения соответствующих краевых задач для области внешней среды D_0^+ . Применяв эту методику и используя преобразование Фурье по переменной x_2 , получаем в пренебрежении токами смещения в области внешней среды ($k_0^2=0$) [4] следующее решение исходной задачи (2) — (4):

$$E_1 = -\frac{1+i}{2\sigma\delta_*} \left\{ I_1^{(0)} - (1-i)\mu_*\delta_* I_1^{(1)} - \left[i(2\mu_*^2-1) - \frac{1-i}{2}\zeta \right] \times \right. \\ \left. \times \delta_*^2 I_1^{(2)} + \dots \right\} e^{-V\sqrt{i/2}\zeta}. \quad (5)$$

Здесь $\zeta = (1-z)/\delta_*$;

$$I_1^{(0)} = \frac{i_0}{\pi} \frac{z_0}{z_0^2 + x_2^2}; \quad I_1^{(1)} = \frac{z_0^2 - x_2^2}{z_0(z_0^2 + x_2^2)} I_1^{(0)}; \quad I_1^{(2)} = \frac{2(z_0^2 - 3x_2^2)}{(z_0^2 + x_2^2)^2} I_1^{(0)}. \quad (6)$$

При определении джоулева тепла в пластине $Q = \frac{\sigma}{2} E_1 \dot{E}_1$ (\dot{E}_1 — комплексно сопряженная к E_1 функция) ограничимся рассмотрением трех членов решения (5). Тогда имеем

$$Q(x_2, z) = \frac{e^{-\zeta}}{4\sigma\delta_*^2} \sum_{k=0}^{\infty} q_k(x_2) \zeta^k, \quad (7)$$

где

$$q_0(x_2) = I_1^{(0)2} - 2\mu_*\delta_* (I_1^{(0)} - \mu_*\delta_* I_1^{(1)}) I_1^{(1)} - \\ - \delta_*^3 (2\mu_*^2 - 1) [2\mu_* I_1^{(1)} - \delta_* (2\mu_*^2 - 1) I_1^{(2)}] I_1^{(2)}; \\ q_1(x_2) = -\delta_*^2 [I_1^{(0)} - 2\mu_*\delta_* I_1^{(1)} + \delta_*^2 (2\mu_*^2 - 1) I_1^{(2)}] I_1^{(2)}; \\ q_2(x_2) = \frac{1}{2} \delta_*^4 I_1^{(2)2}.$$

На рис. 1 в виде графиков представлены результаты численных исследований распределения джоулева тепла (функции $Q_* = \frac{\sigma}{i_0^2} Q$) на лицевой поверхности $z=1$ пластины в направлении координаты x_2 в зависимости от изменения параметров z_0 и δ_* . Расчеты выполнялись для пластины из ферромагнитного материала ($\mu_* = 1$) при $\delta_* = 0, 1$ и $z_0 = 2; 3$ (соответственно кривые 1 и 2).

Переходя теперь к определению температурного поля в пластине, примем, что на ее поверхностях $z = \pm 1$ имеет место конвективный теплообмен с внешней средой. Температура внешней среды считается постоянной и равной начальной температуре пластины. Тогда искомое температурное поле $T = T(x_2, z, \tau)$ определяется из решения задачи теплопроводности [3]:

$$\left(\frac{\partial^2}{\partial z^2} + \frac{\partial^2}{\partial x_2^2} - \frac{\partial}{\partial \tau} \right) T = -Q_0, \quad (8)$$

$$T|_{\tau=0} = 0, \left(\frac{\partial}{\partial z} \pm \text{Bi}^\pm\right) T|_{z=\pm 1} = 0, \quad (9)$$

где $Q_0 = \frac{h^2}{\lambda} Q$; $\tau = \frac{a}{h^2} t$ — критерий Фурье; t — время; λ, a — коэффициенты тепло- и температуропроводности; $\text{Bi}^\pm = hH^\pm$ — критерии Био; H^\pm — коэффициенты теплоотдачи с поверхностями $z = \pm 1$.

Для решения задачи (8), (9) последовательно применим конечное интегральное преобразование по толщинной координате z [1] и преобразование Фурье по переменной x_2 . В результате приходим к довольно громоздкому решению в квадратурах, вычисление несобственных интегралов в котором удается произвести только для стационарного случая ($\tau \rightarrow \infty$). С целью упрощения расчетных формул температуры, и как следствие напряжений, используем то обстоятельство, что характер распределения джоулевых тепловыделений на поверхности пластины с уменьшением значений параметров δ^* и z_0 приближается к гауссовому распределению (см. рис. 1). Поэтому, аппроксимируя поверхностное значение джоулева тепла экспоненциальной функцией вида

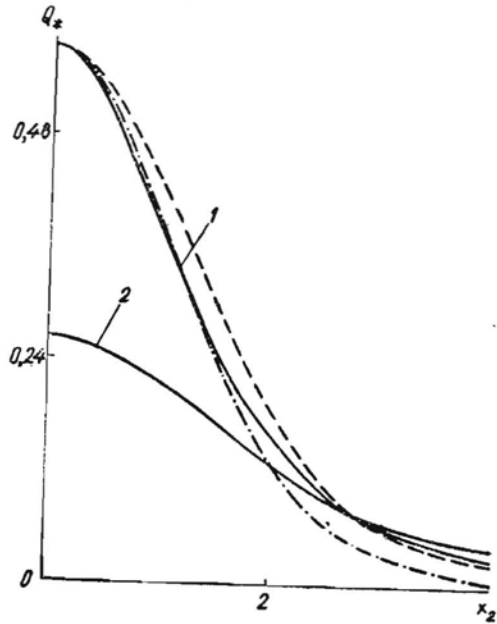


Рис. 1.

$$P(x_2) = \frac{j_0^2}{4\sigma\delta^2} A e^{-x_2^2/b^2}, \quad (10)$$

получим такое решение задачи теплопроводности (8), (9):

$$T = t_* K \sum_{m=1}^{\infty} \Phi_m(z) F_m(x_2, \tau), \quad (11)$$

где

$$t_* = \frac{j_0^2 h^2}{\sigma \lambda}; \quad K = \frac{\sqrt{\pi} \bar{A} b}{16 \delta_*}; \quad \Phi_m(z) = \text{Bi}^- \sin \beta_m (1+z) + \beta_m \cos \beta_m (1+z);$$

$$F_m(x_2, \tau) = \frac{P_m}{\beta_m \|\Phi_m\|^2} [\Lambda(x_2, b, \beta_m) -$$

$$- \Lambda(x_2, \sqrt{b^2 + 4\tau}, \beta_m)] e^{(\beta_m^2/2)\tau}; \quad P_m = \frac{\varphi_m + \delta_* \beta_m \psi_m}{1 + \delta_*^2 \beta_m^2};$$

$$\varphi_m = \beta_m \cos 2\beta_m + \text{Bi}^- \sin 2\beta_m; \quad \psi_m = \beta_m \sin 2\beta_m - \text{Bi}^- \cos 2\beta_m;$$

$$\|\Phi_m\|^2 = \beta_m^2 + (\text{Bi}^-)^2 + \frac{1}{2} \left[\text{Bi}^- + \text{Bi}^+ \frac{\beta_m^2 + (\text{Bi}^-)^2}{\beta_m^2 + (\text{Bi}^+)^2} \right];$$

$$\Lambda(x, \alpha, \beta) = e^{\beta x} \text{erfc} \left(\frac{\alpha \beta}{2} + \frac{x}{\alpha} \right) + e^{-\beta x} \text{erfc} \left(\frac{\alpha \beta}{2} - \frac{x}{\alpha} \right);$$

β_m — неотрицательные корни уравнения $(\beta^2 - \text{Bi}^+ \text{Bi}^-) \text{tg } 2\beta = (\text{Bi}^+ + \text{Bi}^-) \beta$. При этом фигурирующие в выражении (10) константы A и b определяются следующим образом. Константа A — из соотношения

$$A = \frac{4\sigma\delta^2}{j_0^2} Q(x_2 = 0, z = 1), \quad (12)$$

а константа b — из условия совпадения суммарных по координате x_2 тепловыделений в пластине для исходного распределения и полученного на основании аппроксимации, т. е. условия

$$\int_0^{x_0} Q(x_2, z=1) dx_2 = \int_0^{x_0} P(x_2) dx_2. \quad (13)$$

Отметим, что величина верхнего предела интегрирования x_0 , вообще говоря, должна быть равна бесконечности, но так как основная часть джоулевых тепловыделений сосредоточена в зоне близкой к сечению $x_2=0$, то значение параметра x_0 практически можно определять с помощью соотношения

$$Q(x_2=x_0, z=1) = \alpha_* Q(x_2=0, z=1), \quad (14)$$

где α_* — заданная величина отклонения значения функции $Q(x_2, z=1)$ в точке $x_2=x_0$ от ее максимального значения.

В частности, для $\alpha_* = 1/e = 0,368$ и $\delta_* = 0,1$ из соотношения (14) имеем $x_0 = 0,847z_0$ и соответственно из условия (13) — $b = 0,802z_0$. Если же $x_0 \rightarrow \infty$, то для того же значения $\delta_* = 0,1$ получаем $b = 0,934z_0$.

На рис. 1 для сравнения нанесены графики аппроксимирующей функции $P(x_2)$, соответствующие значениям константы b , вычисленным при $x_0 \rightarrow \infty$ (штриховая линия) и $x_0 = 0,847z_0$ (штрих-пунктирная линия). Как видно, лучшее приближение в основной части зоны нагрева дает аппроксимация при x_0 , определяемом на основании соотношения (14).

Проведенное также численное сравнение значений температуры, полученных на основании формулы (11) для случая $\tau \rightarrow \infty$, со значениями стационарного температурного поля, найденного исходя из джоулевых тепловых источников (7), показало, что при этом погрешность не превышает погрешности приближения исходного выражения джоулева тепла функцией (10).

Температурные напряжения в пластине найдем для случая, когда крайние сечения $x_1 = x_1^\pm \rightarrow \pm \infty$ жестко зашцемялены, а $x_2 = x_2^\pm \rightarrow \pm \infty$ свободны от внешних усилий. Тогда пластина находится в условиях плоской деформации, и, согласно [2], для отличных от нуля компонент напряжений имеем

$$\sigma_{11} = \nu \sigma_{22} - \alpha_T E T, \quad \sigma_{22} = \frac{\alpha_T E}{1-\nu} (T_1 + z T_2 - T). \quad (15)$$

Здесь α_T — коэффициент линейного теплового расширения; ν — коэффициент Пуассона; E — модуль упругости; $T_1 = \frac{1}{2} \int_{-1}^1 T dz$, $T_2 = \frac{3}{2} \times \int_{-1}^1 z T dz$ — характеристики усреднения температурного поля.

Интегрируя в соответствии с определением T_1 и T_2 выражение температурного поля (11), соотношения (15) запишем окончательно в виде

$$\begin{aligned} \sigma_{11} &= \frac{\sigma_*}{1-\nu} K \sum_{m=1}^{\infty} [\nu (\Phi_{1m} + z \Phi_{2m}) - \Phi_m(z)] F_m(x_2, \tau), \\ \sigma_{22} &= \frac{\sigma_*}{1-\nu} K \sum_{m=1}^{\infty} [\Phi_{1m} + z \Phi_{2m} - \Phi_m(z)] F_m(x_2, \tau), \end{aligned} \quad (16)$$

где

$$\begin{aligned} \sigma_* &= \alpha_T E t_*; \quad \Phi_{1m} = \frac{1}{2\beta_m} [\varphi_m \sin 2\beta_m + \psi_m (1 - \cos 2\beta_m)]; \\ \Phi_{2m} &= \frac{3}{2\beta_m^2} \{\varphi_m (1 - \beta_m \sin 2\beta_m - \cos 2\beta_m) + \psi_m [\beta_m (1 + \cos 2\beta_m) - \sin 2\beta_m]\} \end{aligned}$$

На рис. 2–5 проиллюстрированы результаты численных исследований напряжений $\sigma_{ji} = \sigma_{ij}/\sigma_*$ ($j=1, 2$) в пластине из материала Ст X18H9T для моментов времени $t=0,1; 0,5; 2; 10; 60$ с (соответственно кривые 1–5). При этом на рис. 2 и 3 приведены графики изменения напряже-

ний σ_{ij} на лицевой поверхности пластины по координате x_2 , а на рис. 4 и 5 — в сечении $x_2 = 0$ по толщине пластины. Расчеты выполнялись при значениях параметров $\delta_0 = 0,1$ и $z_0 = 2$, а также константы $b = 0,802z_0$. Коэффициенты теплоотдачи с поверхностей пластины принимались $Bi^+ = Bi^- = Bi = 0,1$; 1 (соответственно сплошные и штриховые линии).

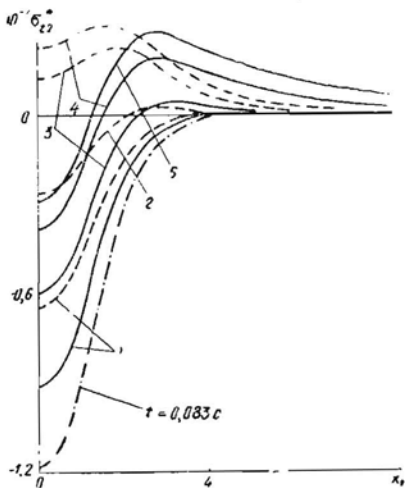


Рис. 2.

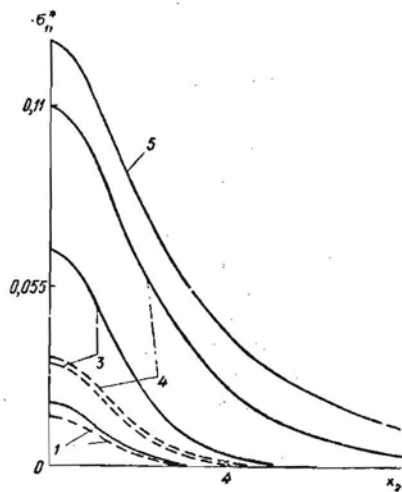


Рис. 3.

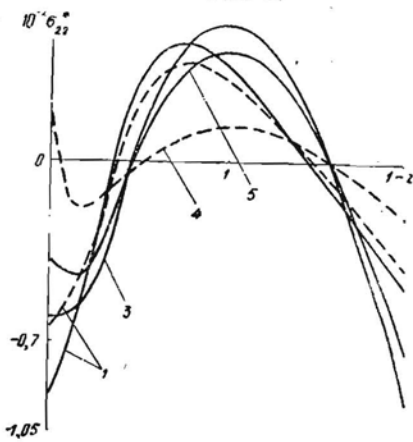


Рис. 4.

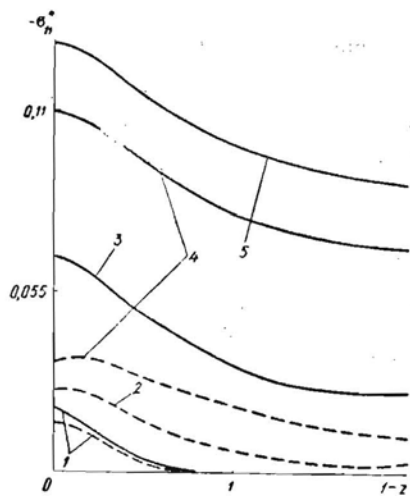


Рис. 5.

1. Галицын А. С., Жуковский А. Н. Интегральные преобразования и специальные функции в задачах теплопроводности.— Киев: Наук. думка, 1976.— 282 с.
2. Коваленко А. Д. Основы термоупругости.— Киев: Наук. думка, 1970.— 307 с.
3. Подстригач Я. С., Бурак Я. И., Гачкевич А. Р., Чернявская Л. В. Термоупругость электропроводных тел.— Киев: Наук. думка, 1977.— 248 с.
4. Тозони О. В., Маергойз И. Д. Расчет трехмерных электромагнитных полей.— Киев: Техніка, 1974.— 352 с.
5. Чорный Б. И. Асимптотическое представление решения уравнений электродинамики приповерхностного индукционного нагрева электропроводных оболочек.— Докл. АН УССР. Сер. А, 1980, № 9, с. 83—86.

Ин-т прикладных проблем механики и математики АН УССР, Львов

Получено 04.01.84